

УДК 537.812 • 359.26 : 541 : 53

**СМЕЩЕНИЯ РЕНТГЕНОВСКИХ К-ЛИНИЙ
И ЭЛЕКТРОННАЯ СТРУКТУРА Y, Ba и La
В ВЫСОКОТЕМПЕРАТУРНЫХ СВЕРХПРОВОДНИКАХ
 $\text{La}_{2-x}(\text{Sr}, \text{Ba})_x\text{CuO}_4$ и $\text{YBa}_2\text{Cu}_3\text{O}_7$**

*A. И. Егоров, Ю. П. Смирнов, А. Е. Совестнов,
А. В. Тюнис, В. А. Шабуров*

Методом смещений рентгеновских линий исследованы особенности электронной структуры Y, Ba и La в $\text{La}_{2-x}(\text{Sr}, \text{Ba})_x\text{CuO}_4$ и $\text{YBa}_2\text{Cu}_3\text{O}_7$. Показано, что электронная структура Ba и Y в этих системах такая же, как и в BaO и Y_2O_3 , т. е. Ba^{2+} , Y^{3+} . В $\text{La}_{2-x}(\text{Sr}, \text{Ba})_x\text{CuO}_4$ обнаружено присутствие ~ 0.2 5d-электрона на атом La.

Макро- и микроскопические свойства металлооксидных керамик (МОК) за короткое время с момента обнаружения в них высокотемпературной сверхпроводимости [1] исследованы и продолжают исследоваться достаточно широко. Особый интерес для понимания природы как обычной проводимости, так и сверхпроводимости этих систем представляют данные о распределении внешних, расположенных вблизи уровня Ферми, s-, d- и f-электронов атомов, входящих в МОК.

Считается (см., например, [2]), что электронная структура Y, Ba и La в МОК такая же, как и в исходных окислах Y_2O_3 , BaO и La_2O_3 , т. е. Y^{3+} , Ba^{2+} и La^{3+} . Однако в ряде экспериментальных работ это утверждение подвергается сомнению. Так, в [3] на основе изучения K-края Y в $\text{YBa}_2\text{Cu}_3\text{O}_{7-x}$ ($0 \leq x \leq 1.0$) делается заключение, что зарядовое состояние Y сильно зависит от x и при $x=0 \div 0.2$ ближе к Y^0 , чем к Y^{3+} . Зонные расчеты $\text{La}_{2-x}(\text{Sr}, \text{Ba})_x\text{CuO}_4$ [4, 5] обнаруживают небольшую примесь 5d-состояний La в плотности состояний на уровне Ферми, что может быть связано с зарядовым состоянием La, отличным от чистого La^{3+} -состояния. В [6] из анализа рентгеновских M_{α}, β -спектров La делается заключение о присутствии 4f-электрона La в $\text{La}_{1.8}\text{Sr}_{0.2}\text{CuO}_4$. Кластерные расчеты эффективных чисел заполнения валентных орбиталей $\text{La}_{2-x}\text{Sr}_x\text{CuO}_4$ [7] дают значительную примесь d- и f-состояний La ($n_{5d}=0.78$, $n_f=0.39$). Таким образом, электронная структура Y, Ba и La надежно не установлена и требует дальнейшего изучения.

Ранее было показано [8], что электронную структуру элементов в соединениях (распределение внешних s (p), d, f-электронов) можно успешно изучать методом смещений рентгеновских линий (СРЛ). Удаление из атома (или появление) валентного электрона приводит к изменению энергии рентгеновских линий (сдвигу), по знаку и величине которого, а также зависимости сдвигов от типа K-линий («факсимиле» [8]) можно идентифицировать вид этого электрона (s, p, d или f).

В данной работе методом СРЛ исследована электронная структура (заселенность внешних s, d, (f)-оболочек) Y, Ba и La в $\text{La}_{1.8}\text{Ba}_{0.2}\text{CuO}_4$, $\text{La}_{2-x}\text{Sr}_x\text{CuO}_4$ ($x=0 \div 0.33$) и $\text{YBa}_2\text{Cu}_3\text{O}_7$ ($T=77$ и 300 К). В эксперименте измерялось изменение энергии (сдвиг) K_{α_1} - и K_{β_1} -линий Y, Ba и La в МОК относительно реферов (ионные соединения Y_2O_3 , BaO и La_2O_3 (LaF_3)).

Смещения ΔE рентгеновских K -линий Y, Ba и La в металлооксидных керамиках и металлах (относительно Y_2O_3 , BaO и La_2O_3 соответственно)

Элемент	Соединение	$\Delta E_{K_{\alpha_1}}$, мэВ		$\Delta E_{K_{\beta_1}}$, мэВ	
		300 К	77 К	300 К	77 К
Y	Y-металл	146 \pm 6		67 \pm 7	
	$YBa_2Cu_3O_7$	9 \pm 10	-1 \pm 12	-4 \pm 11	-5 \pm 12
Ba	$YBa_2Cu_3O_7$	8 \pm 4	19 \pm 5	15 \pm 6	-18 \pm 15
	$La_{1.8}Ba_{0.2}CuO_4$	14 \pm 3			
La	La-металл	60 \pm 6		-16 \pm 9	
	La_2CuO_4	33 \pm 6		59 \pm 10	
	$La_{1.8}Ba_{0.2}CuO_4$	36 \pm 3	36 \pm 6	54 \pm 5	
	$La_{1.9}Sr_{0.1}CuO_4$			70 \pm 9	
	$La_{1.83}Sr_{0.17}CuO_4$			60 \pm 13	
	$La_{1.8}Sr_{0.2}CuO_4$	43 \pm 3	29 \pm 6	53 \pm 5	
	$La_{1.67}Sr_{0.33}CuO_4$			71 \pm 9	

Схема нашего опыта и процедура измерений подробно описаны ранее (см., например, [8]).

Исследованные соединения были приготовлены по обычной керамической технологии.

Для всех исследованных образцов был сделан рентгенофазовый анализ (дифрактометр ДРОН-2, излучение CuK_{α}) и определена температура перехода в сверхпроводящее состояние (резистивным методом или по эффекту Мейснера).

Полученные образцы были практически монофазны (кроме

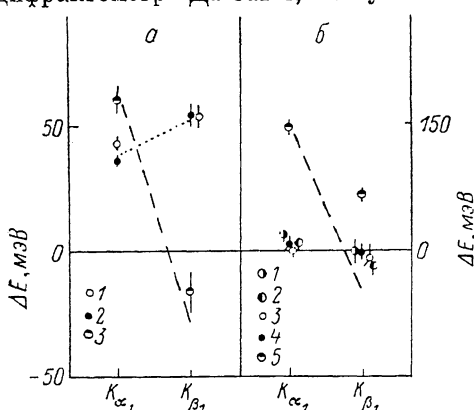


Рис. 1. Экспериментальные сдвиги K -линий La (a), Ba и Y (б) в исследованных МОК.

a: 1 — $La_{1.8}Ba_{0.2}CuO_4$, 2 — $La_{1.8}Sr_{0.2}CuO_4$, 3 — La-металл; б: 1, 2 — ΔE (Ba) в $YBa_2Cu_3O_7$; 3, 4 — ΔE (Y) в $YBa_2Cu_3O_7$, для $T=77$ (1, 3) и 300 К (2, 4); 5 — Y-металл. Пунктир — расчет по XФС для конфигураций $La^{3+}5d6s^2$ (a) и $Y^{4+}4d5s^2$ (б).

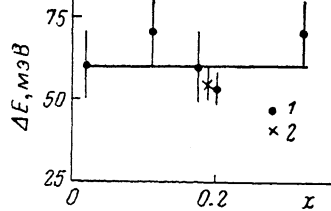


Рис. 2. Зависимость сдвига K_{β_1} -линий La в $La_{2-x}Sr_xCuO_4$ от состава (I).

2 — $\Delta E_{K_{\beta_1}}$ (La) в $La_{1.8}Ba_{0.2}CuO_4$.

$La_{1.67}Sr_{0.33}CuO_4$) и по рентгеноструктурным данным близки к литературным (см., например, [9]). Соединения $La_{2-x}M_xCuO_4$ имели тетрагональную структуру типа K_2NiF_4 с параметрами решетки: $a=3.784 \div 3.771 \text{ \AA}$, $c=-13.210 \div 13.254 \text{ \AA}$ ($x=0.1 \div 0.33$) для $M=\text{Sr}$ и $a=3.783 \text{ \AA}$, $c=13.320 \text{ \AA}$ для $La_{1.8}Ba_{0.2}CuO_4$. Керамика $YBa_2Cu_3O_7$ имела орторомбическую решетку с параметрами $a=3.822 \text{ \AA}$, $b=3.891 \text{ \AA}$, $c=11.677 \text{ \AA}$. Для $La_{1.8}Ba_{0.2}CuO_4$, $La_{1.8}Sr_{0.2}CuO_4$ и $YBa_2Cu_3O_7$ T_c составляла соответственно ~ 21 , ~ 25 и ~ 92 К.

В таблице и на рис. 1 представлены сдвиги K_{α_1} - и K_{β_1} -линий Y, Ba и La в исследованных МОК. Видно (рис. 1, б), что для $YBa_2Cu_3O_7$ сдвиги K -линий Ba и Y близки к нулю и не зависят от того, в каком состоянии — «нормальном» ($T=300$ К $>$ T_c) или сверхпроводящем ($T=77$ К $<$ T_c) — находится образец. Средневзвешенная величина $\overline{\Delta E}$ (МОК-окисел) для K -линий Ba и Y составляет соответственно 11 ± 4 и 0 ± 6 мэВ. Таким

образом, электронная структура Ba и Y в $\text{YBa}_2\text{Cu}_3\text{O}_7$, такая же, как и в сравниваемых редких земельных соединениях, т. е. Y^{3+} и Ba^{2+} (аналогичная структура Ba и в $\text{La}_{1.8}\text{Ba}_{0.2}\text{CuO}_4$; см. таблицу). Этот вывод о зарядовом состоянии Y противоречит данным работы [3] о том, что состояние Y в $\text{YBa}_2\text{Cu}_3\text{O}_7$ ближе к металлическому, чем к Y^{3+} . В таблице и на рис. 1, б (точки 5) представлены результаты нашего эксперимента для Y-металл— Y_2O_3 , которые иллюстрируют масштаб смещений K-линий Y при переходе от металла (Y^0) к окислу (Y^{2+}). Исходя из экспериментальной точности, можно оценить примесь Y^0 (n_{Y^0}) в $\text{YBa}_2\text{Cu}_3\text{O}_7$. Величина n_{Y^0} не превышает 5 %.

В случае La в $\text{La}_{2-x}(\text{Ba}, \text{Sr})_x\text{CuO}_4$ (рис. 1, а) обнаружено изменение энергии K-линий La при переходе от окисла к МОК. Величина эффекта практически не зависит от замещающего партнера (Ba или Sr) и температуры ($T = 77$ и 300 К) и составляет $\Delta E_{K_{\alpha_1}}(\text{МОК-окисел}) = 36 \pm 3$ и 40 ± 3 мэВ, $\Delta E_{K_{\beta_1}}(\text{МОК-окисел}) = 54 \pm 5$ и 53 ± 5 мэВ для $\text{La}_{1.8}\text{Ba}_{0.2}\text{CuO}_4$ и $\text{La}_{1.8}\text{Sr}_{0.2}\text{CuO}_4$ соответственно. Эффект также не зависит и от состава твердых растворов (рис. 2); в области $0 \leq x \leq 0.33$ средневзвешенная величина сдвига составляет $\Delta E_{K_{\beta_1}} = 59 \pm 4$ мэВ.

Ранее было показано (см., например, [8, 10]), что в большинстве случаев экспериментальные величины сдвигов для разных типов валентных электронов (s (p), d или $4f$) достаточно удовлетворительно совпадают с теоретическими значениями, получаемыми в рамках самосогласованных расчетов типа Хартри–Фока–Слейтера (ХФС). Расчет по ХФС [11] для вариантов конфигураций La, отличающихся одним $6s$ -, $5d$ - или $4f$ -электроном, дает следующие величины (мэВ): $\Delta E_{K_{\alpha_1}}(\text{La}^{2+}6s - \text{La}^{3+}) = -27$, $\Delta E_{K_{\beta_1}}(\text{La}^{2+}6s - \text{La}^{3+}) = -47$, $\Delta E_{K_{\alpha_1}}(\text{La}^{2+}5d - \text{La}^{3+}) = 119$, $\Delta E_{K_{\beta_1}}(\text{La}^{2+}5d - \text{La}^{3+}) = 76$, $\Delta E_{K_{\alpha_1}}(\text{La}^{2+}4f - \text{La}^{3+}) = 784$, $\Delta E_{K_{\beta_1}}(\text{La}^{2+}4f - \text{La}^{3+}) = 2057$. Используя эти значения, можно определить электронную структуру La в МОК из экспериментальных величин ΔE . Положительный знак эффекта (рис. 1, а, точки 1, 2) однозначно указывает на появление у La валентного электрона $4f$ - или $5d$ -типа. Наилучшим образом экспериментальные сдвиги на K_{α_1} - и K_{β_1} -линиях La в $\text{La}_{1.8}(\text{Sr}, \text{Ba})_{0.2}\text{CuO}_4$ описываются конфигурацией $1\text{a}4f^{0.025}5d^{0.2}$ (пунктир на рис. 1, а). Точность определения величин заселенности n_{4f} и n_{5d} , обусловленная только экспериментальными ошибками, составляет $\Delta n_{4f} \approx 0.005$, $\Delta n_{5d} \approx 0.02$. Использование различных вариантов расчета (учет поправки Леттера; разный выбор коэффициента C , учитывающего обменное взаимодействие, и т. д.) изменяет величины n_{4f} и n_{5d} не более чем на ~ 20 %. (В электронную конфигурацию La в МОК можно включить и примесь $6s$ -состояний, однако без учета вклада $4f$ ($5d$)-состояний эффект объяснить не удается). На рис. 1, а (точки 3) представлены результаты эксперимента для La-металл— La_2O_3 , который можно рассматривать как контрольный опыт для проверки расчетных величин ΔE , использованных для установления электронной структуры La в МОК. Расчетный ход зависимости сдвига от типа линии (пунктирная кривая) для конфигурации металлического лантана $5d6s^2$ хорошо совпадает с экспериментальными значениями. Хорошее согласие расчета с экспериментом наблюдается и для металлического Y для K_{α_1} -линии (рис. 1, б, точки 5). Рассогласование для K_{β_1} -линии может быть обусловлено тем, что переход K_{β_1} ($1s$ — $3p$) связан с близким к валентным оболочкам $3p$ -уровнем, где возможно влияние других (кроме взаимного экранирования) механизмов.

Вывод о присутствии $4f$ -электрона на La представляется довольно спорным, так как из зонных расчетов [4] следует, что $4f$ -зона располагается на ~ 4 эВ выше уровня Ферми. Величина примеси $4f$ -состояний, получаемая из сравнения эксперимента с расчетом, достаточно мала ($n_{4f} \approx 0.02$), поэтому был проведен дополнительный эксперимент при высокой температуре ($T \approx 700$ К). Мы надеялись, что увеличение температуры

образца (в случае близости $4f$ -уровня к уровню Ферми) должно усилить эффект за счет термического заброса. Однако увеличения сдвига K_{α_1} -линии La в высокотемпературном опыте для $\text{La}_{1.8}\text{Sr}_{0.2}\text{CuO}_4$ не обнаружено: $\Delta E_{K_{\alpha_1}}(700-300 \text{ K}) = 2 \pm 8 \text{ мэВ}$.

Таким образом, эффект смещения K -линий La в исследованных МОК связан, по-видимому, с присутствием на La примеси только $5d$ -электрона ($n_{5d} \approx 0.2$). Наблюдаемая в нашем эксперименте небольшая примесь $4f$ -электрона может быть связана с влиянием на энергию K -линий La других механизмов (кроме механизма взаимного экранирования), например эффекта «встряски» электронной оболочки [12].

Авторы благодарят О. И. Сумбаева за интерес к работе и полезные замечания, Б. В. Григорьева за помощь в проведении эксперимента и П. Л. Соколову за оформление работы.

Список литературы

- [1] Bednorz J. G., Müller K. A. // Z. Phys. B. 1986. V. 64. N 2. P. 189-193.
- [2] Bednorz J. G., Müller K. A. // Rev. Mod. Phys. 1988. V. 60. N 3. P. 585-600.
- [3] Sacchi M., Corni F., Antonini G. M., Calandra C., Matacotta F. C., Frahm R. // Z. Phys. B. 1988. V. 72. N 3. P. 335-344.
- [4] Mattheiss L. F. // Phys. Rev. Lett. 1987. V. 58. N 10. P. 1028-1030.
- [5] Анисимов В. И., Губанов В. А., Коротин М. А., Лихтенштейн А. И., Постников А. В., Туржевский С. А. // Проблемы высокотемпературной сверхпроводимости. Информационные материалы. Свердловск, 1987. Ч. I. С. 171-173.
- [6] Эренбург С. Б., Мазалов Л. Н., Асанов И. П., Толстяков Д. М., Худорожко Г. Ф., Громилов С. А. Там же. 1987. Ч. II. С. 46-47.
- [7] Тимошевский А. И. // ФНТ. 1987. Т. 43. № 8. С. 838-842.
- [8] Сумбаев О. И. // УФН. 1978. Т. 124. № 2. С. 281-306.
- [9] Politis C., Geerk J., Dietrich M., Obst B. // Z. Phys. B. 1987. V. 66. N 2. P. 141-146.
- [10] Петрович Е. В., Смирнов Ю. П., Зыков В. С., Грушко А. И., Сумбаев О. И., Банд И. М., Тржасковская М. Б. // ЖЭТФ. 1971. Т. 61. № 5. С. 1756-1762.
- [11] Банд И. М., Тржасковская М. Б. // Препринт ЛИЯФ № 91. Л., 1974.
- [12] Lässer R., Fuggle J. C., Beyss M., Campagna M., Steglich F., Hulliger F. // Physica B. 1980. V. 102. N 1-3. P. 360-366.

Ленинградский институт
ядерной физики им. Б. П. Константина
АН СССР
Ленинград

Поступило в Редакцию
19 января 1989 г.